

УДК 523.9

Низкочастотные колебания фотосферы Солнца: наземные данные и некоторые измерения спутника SOHO

В.А. Котов, В.И. Ханейчук

Крымская астрофизическая обсерватория, 98409, Украина, Крым, Научный

Поступила в редакцию 13 августа 2002 г.

Аннотация. Наблюдения Солнца, выполненные в Крымской астрофизической обсерватории в 1974 – 1999 гг., показали, что фотосфера пульсирует с периодом $P_1 = 159.966$ мин. (Колебание с периодом $P_0 = 160.010$ мин наблюдалось только в 1974 – 1982 гг.) Для проверки обработаны данные о флюктуациях глубины (I_D) линии поглощения фотосферы Ni I 676.8 нм в свете от всего солнечного диска, полученные в 1996 г. прибором MDI на борту спутника SOHO. Найдено, что в них присутствует существенная вариация с периодом $P_{MDI} = 79.94 \pm 0.04$ мин. Инструментальное происхождение вариации требует дополнительных допущений и не может удовлетворительно объяснить её особенности.

Специфика измерений MDI предполагает, что солнечное колебание с периодом P должно проявлять себя в I_D -данных как вариация с периодами P и/или $P/2$. В соответствии с этим отмечено, что двойной период $2 \times P_{MDI} = 159.88 \pm 0.16$ мин согласуется с периодичностями P_0 и P_1 , известными из наземных наблюдений как периоды глобальных колебаний Солнца. Примечательна также 27-суточная вариация амплитуды периодичности 79.94 мин и её корреляция с изменениями общего магнитного поля Солнца и числом пятен.

LOW-FREQUENCY OSCILLATIONS OF THE SOLAR PHOTOSPHERE: GROUND-BASED DATA AND SOME MEASUREMENTS BY THE SOHO SATELLITE, by V.A. Kotov, V.I. Haneychuk. The observations of the Sun performed in the Crimean Astrophysical Observatory from 1974 through 1999, showed that the Sun's photosphere pulsates with a period of $P_1 = 159.966$ min. (The firstly reported oscillation, $P_0 = 160.010$ min, has been observed in 1974 – 1982 only.) To check these results, we reduced the data obtained in 1996 by the MDI/SOHO instrument which measured line-depth intensity I_D of the solar absorption line Ni I 676.8 nm (for the entire solar disk). This dataset revealed the presence of a remarkable I_D variation with period $P_{MDI} = 79.94 \pm 0.04$ min. The instrumental explanation proved to be rather hypothetical since it requires several supplementary causes to get satisfactory treatment of the I_D power spectrum.

The specificity of the MDI measurements suggests that solar oscillation with period P would manifest in line-depth data as variation with periods P or/and $P/2$. Accordingly, it is noted that double period $2 \times P_{MDI} = 159.88 \pm 0.16$ min fairly well agrees with both periodicities, P_0 and P_1 , known from ground-based observations as those of global pulsations of the Sun. But the most striking seems to be a 27-day variation of the amplitude of the 79.94-min feature, and its apparent correlation with changes of the solar mean magnetic field and sunspot number.

Ключевые слова: Солнце, глобальные колебания, вращение

1 Введение

Колебания Солнца как звезды изучаются в Крымской астрофизической обсерватории (КрАО) с 1974 г. Для регистрации лучевой скорости фотосферы применяется магнитограф Бэбкока и дифференциальный (“центр – край”) метод Котова и др. (1982). Эффект Доплера регистрируется по фотосферной линии поглощения Fe I 512.4 нм, не расщепляющейся в магнитном поле.

В 70 – 80-х годах несколькими группами исследователей было сообщено о колебаниях Солнца с периодом P около 160 мин (Брукс и др., 1976; Северный и др., 1976; Шеррер и Уилкокс, 1983). Явление было подтверждено независимыми измерениями на южном полюсе Земли (Грек и др., 1980) и Канарских островах (Палле, Рока Кортес, 1988). Значение главного периода в 1974 – 1982 гг. по данным КрАО было равным $P_0 = 160.0101 \pm 0.0016$ мин (Котов и др., 1997).

Позднее, однако, P_0 -колебание практически исчезло, и в спектре мощности (СМ) низкочастотных колебаний – за более длительный интервал наблюдений, с 1974 г. по 1995 г., – стало доминировать колебание $P_1 = 159.9662 \pm 0.0006$ мин (Котов и др., 1997). Появились сообщения и об отсутствии 160-минутных колебаний вообще (см., например, Элсуорс и др., 1989).

Отметим другие обстоятельства: (а) модель внутреннего строения и теория нормальных мод колебаний звёзд не смогли удовлетворительно объяснить 160-минутное колебание Солнца (Котов, 1985), (б) периоды P_0 и P_1 оказались близкими к 9-ой суточной гармонике, что дало оппонентам аргумент (не вполне обоснованный) оспаривать их солнечное происхождение, (в) колебания с периодом 160 мин – под термином “инфразвук” Солнца – были постулированы Сэвэном (1946) более полувека тому назад, (г) в отличие от P_0 , колебание P_1 присутствовало в СМ колебаний Солнца все время наблюдений в Крыму, с 1974 г. по 1995 г. (Котов и др., 1997), (д) колебание P_1 сохраняло начальную фазу на протяжении 26 лет наблюдений (см. п. 3), (е) частота нового колебания P_1 почти совпадает с частотой годичного сателлита первоначального колебания P_0 (период сателлита равен 159.961 мин; период биений P_1 и P_0 равен 1.10 ± 0.05 г.).

Удивительными оказались и недавние результаты КрАО, показавшие усиление колебания P_1 в 1999 г., причём с той же начальной фазой, что и ранее (Котов и др., 2000). Здесь приводим краткую сводку результатов за 26 лет, свидетельствующих о реальности колебания P_1 . Также анализируем некоторые данные спутника SOHO на предмет присутствия или отсутствия в них 160-минутной периодичности.

2 Наблюдения КрАО за 1974 – 1999 гг.

За 26 лет измерения скорости фотосферы v выполнены в течение 1580 дней, в сумме около 10004 ч. Скорость усреднялась в 5-минутных интервалах, медленные тренды удалялись с помощью парабол. Полное число остатков (измерения минус тренд) $N = 120053$ со среднеквадратичным значением $\Delta = 6.2$ м/с. Положительная скорость соответствует “расширению” Солнца, а нулевая фаза всюду – моменту UT 00^h 00^m 1 января 1974 г.

Для временного ряда длительностью L разрешение по частоте обычно принимается равным $(\Delta\nu)_0 = L^{-1}$. Поскольку будем сопоставлять частоты разнородных данных, к тому же полученных неодновременно и с разной скважностью, в качестве формальной ошибки частоты будем принимать $\Delta\nu = (\Delta\nu)_0/2 = (2L)^{-1}$; ошибка периода $\Delta P = P^2/(2L)$. (Это больше ошибки наиболее вероятного значения периода, которая часто принимается равной $P^2/(4L)$.)

Спектр мощности (по сути – периодограмма), вычисленный в районе 9-ой гармоники суток, показан на рис. 1. Здесь доминирует, как и прежде (Котов и др., 1997), пик $P_1 = 159.9660 \pm 0.0005$ мин; его гармоническая амплитуда $A_h = 0.26$ м/с. При длительности 26 лет разрешение по частоте $(\Delta\nu)_0 \approx 1$ нГц. Следовательно, спектр сосчитан примерно для 1000 независимых частот. Важно отметить, что период P_1 данных КрАО в пределах ошибки совпадает с периодом пика, *доминирующего* в СМ измерений Солнечной обсерватории им. Дж. Уилкокса (СОУ) Станфордского университета за 1977 – 1994 гг.: $P_S = 159.9663 \pm 0.0007$ мин (Котов и др., 1997). Подчеркнём, что измерения СОУ – также дифференциальные, делались они по той же фотосферной линии 512.4 нм,

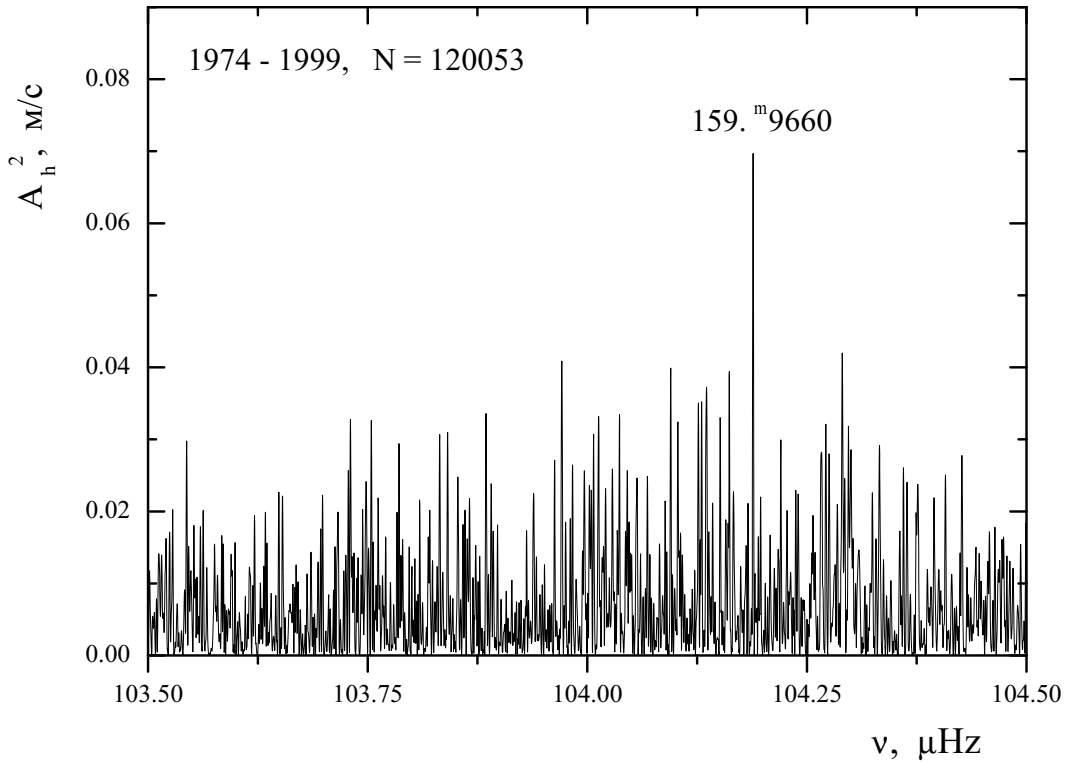


Рис. 1. Спектр мощности колебаний Солнца по данным наблюдений КРАО за 1974 – 1999 гг. Число измерений скорости $N = 120053$; по вертикали – квадрат гармонической амплитуды A_h^2 в $(\text{м}/\text{s})^2$. Главный пик отвечает периоду $P_1 = 159.9660 \pm 0.0005$ мин

что и в КРАО, и потому они наилучшим образом – по сравнению с другими инструментами – со-поставимы с измерениями КРАО. Это выгодно отличает станфордские измерения от измерений, выполненных другими группами методом атомной резонансной спектроскопии. Последние производятся в свете от всего диска Солнца (Элсуорс и др., 1989; Грек и др., 1980; Палле и Рока Кортес, 1988) причем не по фотосферным, а по хромосферным линиям: D1 и D2 натрия или K калия.

Подтверждение периода P_1 измерениями СОУ – сильное свидетельство его *солнечного* происхождения. Трудно объяснить такое совпадение эффектами инструментальной/атмосферной природы или артефактами обработки данных.

3 Диаграмма «O–C»

Чтобы проследить за поведением фазы P_1 в крымских измерениях, построена фазовая диаграмма «O–C», которую принято строить для переменных звёзд.

Для каждого двухлетнего интервала с центральным моментом t вычислены амплитуды $A_h(t)$ и фазы $\varphi_h(t)$ гармонического максимума скорости с пробным периодом $P'_1 = 159.9600$ мин. Поведение фаз $\varphi_h(t)$ показано на рис. 2 точками (отсутствуют фазы 1985 – 1986 гг. и 1996 – 1997 гг., когда средние P_1 -кривые оказались незначимыми). Через точки проведены прямые линейной регрессии, наклон которых соответствует фактической периодичности ≈ 159.966 мин. Коэффициент корреляции, как мера линейной зависимости между t и $\varphi_h(t)$, равен 0.99. Видно, что P_1 -колебание сохраняло начальную фазу практически на протяжении всех 26 лет. (Это отличает колебание P_1 от «процесса» P_0 , который по данным КРАО и СОУ уверенно наблюдался лишь в 1974 – 1982 гг., см. Котов и др., 1997.)

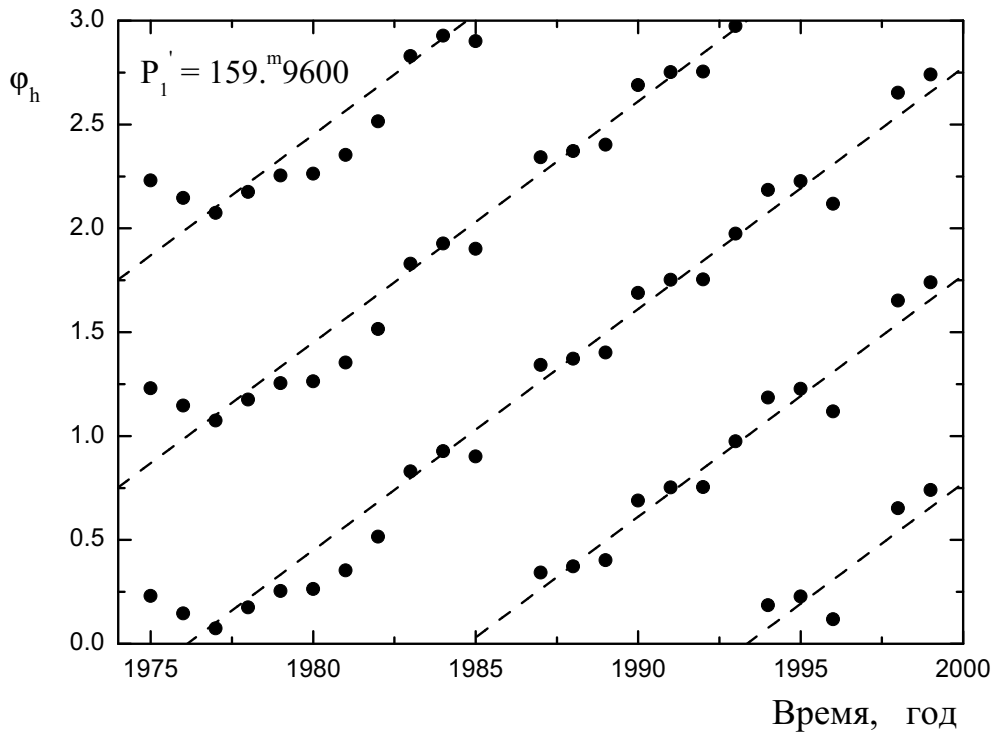


Рис. 2. Диаграмма «О–С» для пробного периода $P'_1 = 159.9600$ мин. По вертикали – фаза φ_h максимума скорости (от 0 до 1, с повторением для интервалов 1 – 2 и 2 – 3). Точками обозначены фазы двухлетних данных КрАО за 1974 – 1999 гг., вертикальной чёрточкой указана типичная ошибка фазы. Наклон прямых линейной регрессии (штриховые линии) отвечает периоду 159.966 мин

4 О некоторых наблюдениях спутника SOHO

Часть приборов спутника SOHO, запущенного в точку Лагранжа L1 в конце 1995 г., предназначена для регистрации глобальных колебаний Солнца и, в частности, g -мод (Шеррер и др., 1995). Остановимся на истолковании некоторых результатов.

(а) Прибор PMO6-V эксперимента VIRGO/SOHO измерял вариации солнечной иррадиации, и в СМ (Финстерли и Фройлих, 1997) этих данных самый высокий пик соответствует частоте 104 мГц (период 160 мин). Финстерли и Фройлих (1997), однако, посчитали, что это – инструментальный артефакт, обусловленный “биениями” на борту спутника с частотой $\nu_B = 52.125$ мГц (период 320 мин) и её гармониками.

(б) В СМ иррадиации, построенном по тем же данным, но для $P < 33.4$ мин, и приведенном в отчете WRC/PMOD (Финстерли и Фройлих, 1999), самый высокий пик отвечает периоду 32 мин. Это отмечается самими авторами отчета, но они считают опять, что пик является артефактом, вызванным интерференцией между «операциями спутника и интервалом съёма информации» VIRGO. Заметим, однако, что период главного пика – пятая гармоника 160 мин и что “инструментальное” происхождение пика снова не подкреплено никакими доказательствами.

(в) Значимые периоды, кратные 320 мин, – в частности, 160 мин и 80 мин, – присутствуют и в измерениях прибора SOI/MDI (см. ниже).

(г) Данные SOI/MDI о колебаниях фотосферы, обработанные Фройлихом и др. (1998) для степени $l = 1$, $m = 1$, не показали значимых длиннопериодных колебаний. Но ранее было показано (Котов и др., 1983), что 160-минутное колебание – не дипольного типа, т.е. $l \neq 1$.

(д) В так называемом “коллапсированном” СМ данных SOI/MDI (Фройлих и др., 1998) значимые пики отвечают периодам 80 мин и 53 мин, – кратным 160 минутам. Для периодов $P > 83$ мин спектр

у Фройлиха и др. (1998) не показан и не обсуждается.

(e) В СМ наблюдений гелиосейсмологической сети BiSON (Фройлих и др., 1998) один из главных пиков отвечает $P = 160$ мин. Амплитуда соответствует примерно 3 см/с, что, в принципе, не противоречит дифференциальной амплитуде КраО–СОУ (см. ниже), если учесть неточности калибровок. Надо принять во внимание и тот факт, что измерения BiSON сделаны по линии калия и относятся к более верхним слоям солнечной атмосферы, чем измерения КраО–СОУ. В верхних слоях амплитуда длиннопериодных колебаний может уменьшаться.

То же касается данных GOLF/SOHO (Палле и др., 1998), полученных по синим крыльям линий натрия D1 и D2 и имеющих, по-видимому, существенную неопределенность калибровки. Не безупречна и обработка этих измерений, в частности, при фильтрации низкочастотных шумов и инструментальных артефактов. (Вследствие неисправности GOLF вместо скорости измерялись монохроматические интенсивности в синих крыльях линий натрия. При нормальных же измерениях скорости регистрируется разность интенсивностей светового потока в синем и красном крыльях.)

5 Амплитуда P_1 в данных КраО и СОУ

Рассмотрим 160-минутную периодичность, зарегистрированную в наземном эксперименте КраО–СОУ (Котов и др., 1997, 2000). Амплитуда A_h колебания P_1 по измерениям КраО (п. 2) составляет 0.26 ± 0.04 м/с, а по измерениям СОУ она равна 0.10 ± 0.02 м/с (Котов и др., 1997). Но учтём, что дифференциальный метод основан на регистрации слабой круговой поляризации в крыльях линии. А при таких измерениях между Крымом и Стэнфордом существует систематическое расхождение на фактор $C \approx 1.60$ (значения КраО по модулю больше значений СОУ), что проверено многолетними измерениями среднего магнитного поля Солнца (Котов и др., 1999). Расхождение имеет, по-видимому, инструментальную природу, и его объяснение требует специального рассмотрения.

Следует учесть также разную чувствительность инструментов к модам колебаний разной степени l . Точная мода P_1 неизвестна, но можно сделать грубую оценку соответствующего фактора, предположив, что колебание – радиальное, т.е. $l = 0$. Расчеты Котова и др., (1983) показали, что в этом случае амплитуда сигнала в КраО больше амплитуды СОУ примерно в $R = 1.68$ раз. Приняв во внимание также поправочный множитель $Q = 0.93$ (Котов и др., 1982), окончательно для приведения крымских измерений скорости к данным СОУ получаем коэффициент

$$J = \frac{Q}{CR} \approx 0.35. \quad (1)$$

И тогда редуцированная крымская амплитуда, $A'_h = 0.09 \pm 0.02$ м/с, хорошо согласуется с амплитудой СОУ 0.10 ± 0.02 м/с.

6 Измерения глубины линии

Главной целью прибора MDI (Шеррер и др., 1995) являлась регистрация фотосферных проявлений колебаний Солнца для изучения его внутреннего строения. Основу прибора составляли (a) система оптических фильтров, (б) подстраиваемый интерферометр Майкельсона, определяющие спектральное окно шириной 9.4 пм, и (в) ПЗС-матрица. Положение центральной длины волны системы могло меняться, и окно сканировало линию поглощения Ni I 676.8 нм; изображение Солнца фокусировалось на матрице. В нормальном режиме прибор позволял получать фильтрограммы с полосой 9.4 пм в пяти положениях – с шагом 7.5 пм – внутри спектральной области шириной 37.7 пм (рис. 3).

Данные, анализируемые нами, представляют собой измерения световых потоков, или “интенсивностей глубины линии”, усредненные для всего диска Солнца и любезно предоставленные нам Косовичевым (1996). Предварительно Шеррером (1997) они были сглажены гауссовским фильтром шириной 23 мин, с интервалом между отсчетами 12 мин. Полученный сигнал I_D представляет собой интенсивность профиля линии никеля 676.8 нм, вычисленную с помощью алгоритма:

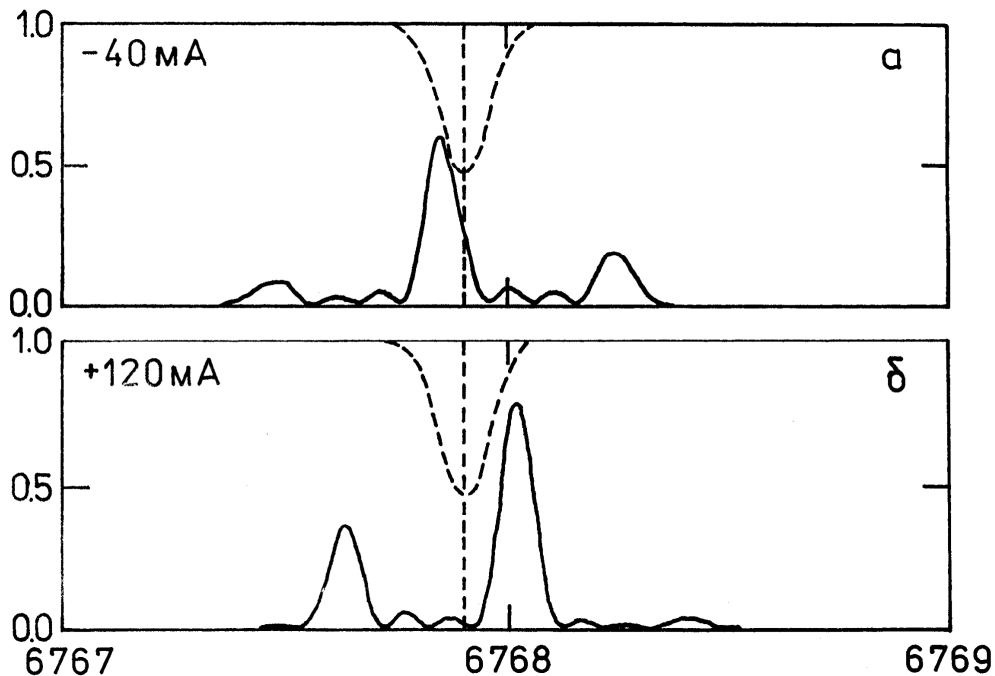


Рис. 3. Принцип работы прибора MDI согласно Шерреру и др. (1995). Показана ситуация для двух (*а* и *б*) из четырёх номинальных состояний доплеровской настройки интерферометра. Сплошной линией показана полоса пропускания инструмента для положений спектрального окна -4.0 пм и $+12.0$ пм относительно “штрихового” профиля линии никеля 676.8 нм

$$I_D = \sqrt{2 \times [(I_1 - I_3)^2 + (I_2 - I_4)^2]}. \quad (2)$$

Она регистрировалась одновременно с “интенсивностью континуума”

$$I_C = 2 \times I_0 + I_D/2 + (I_1 + I_2 + I_3 + I_4)/2, \quad (3)$$

где $I_0 - I_4$ – средние интенсивности фильтрограмм, полученных в пяти фиксированных спектральных окнах линии никеля, разделённых полосой 7.5 пм. (Получение этих рядов данных предусматривалось для контроля возможных артефактов в измерениях прибора GOLF на низких частотах.)

7 Фильтрация трендов I_D

В соответствии с UT-датой вся серия I_D была нами разделена на 57 кусков – каждый длительностью 24 ч – с 1 мая по 26 июня 1996 г. Затем сильно выделяющиеся измерения (ошибочные значения, явно инструментальной природы) были исключены, и для каждого куска независимо, методом наименьших квадратов, был вычислен медленный параболический тренд. После исключения трендов получен общий массив с числом остатков $N = 6238$ и стандартным отклонением $\Delta = 0.863$ (всюду — в относительных I_D -единицах); интервал между отдельными измерениями составлял 12 мин, покрытие измерениями 57-суточного интервала около 91%.

8 Что ожидаем увидеть?

Допустим, что фотосфера осциллирует с неким периодом P , и что осцилляции сопровождаются вариациями контура линии. Последние проявляются в виде (a) доплеровского сдвига линии $\Delta\lambda$ – из-за колебаний лучевой скорости $v(t)$, и/или (b) периодических изменений центральной глубины линии D . Оба эффекта имеют неизвестную амплитуду и разную, в принципе, начальную фазу (здесь пренебрегаем возможным влиянием магнитного поля, дифференциальным вращением Солнца и эффектами, обусловленными потемнением диска к краю).

Если бы оптическая система была настроена *идеально* на центр линии (рис. 3), а глубина D была неизменной, то временные вариации I_D были бы пропорциональны $|v(t)|$, см. (2). СМ обнаружил бы концентрацию мощности на периоде $P/2$. Если же за изменения I_D в основном ответственны колебания D , то главными периодами должны быть $P/2$ и/или P .

Но можно ожидать наличие существенного сдвига спектрального окна инструмента по отношению к центру линии. Сдвиг может быть обусловлен, например, относительным движением Земли и Солнца (из-за эллиптичности земной орбиты), вращением Солнца, гравитационным красным смещением или неточностями юстировки оптики, интерферометров или фильтров, а также просачиванием светового потока от континуума (благодаря интерференционным полосам, см. рис. 3). В любом случае следует ожидать вариаций I_D с периодами $P/2$ и/или P , а также их обертонами.

9 Спектр мощности I_D

Полный СМ остатков I_D для интервала 1 мая – 26 июня 1996 г., вычисленный с помощью фурье-преобразования, показан на рис. 4. Самый высокий пик соответствует периоду $P_{MDI} = 79.94 \pm 0.04$ мин. Принимая во внимание его амплитуду $A_h \approx 0.109$ (в единицах I_D), для оценки значимости пика на априорной частоте получаем $\mathcal{P}' \approx 6.7\sigma$ (Скартель, 1982). При числе независимых частотных интервалов $n \approx 3500$ это соответствует фактической значимости $\mathcal{P} \approx 5.4\sigma$ (вероятность случайного появления $p \approx 7 \times 10^{-8}$).

Другие пики, отмеченные на рис. 4 числами (период в минутах), менее существенные. Кроме того, три максимальных пика справа, $P = 53.299 \pm 0.017$ мин, 47.989 ± 0.014 мин и 32.001 ± 0.006 мин, оказываются (почти в пределах формальных ошибок) обертонами главного пика, с отношениями частот $3/2$, $5/3$ и $5/2$. Они могут интерпретироваться как «спутники» основного пика P_{MDI} , обусловленные, например, пробелами или отклонениями средней P_{MDI} -кривой от синусоиды (см. п. 8). То же относится, по-видимому, и к заметному пику $P = 160.32 \pm 0.16$ мин.

10 О природе пика P_{MDI}

Возможны два предположения, касающиеся происхождения главной периодичности $P_{MDI} = 79.94$ мин и, соответственно, пика 160.3 мин на рис. 4: (1) – инструментальное, (2) – солнечное.

10.1 Инструментальная частота биений?

Некоторые авторы, обрабатывавшие данные SOHO на предмет детектирования низкочастотных колебаний Солнца, утверждают, что в экспериментах наблюдалось биение между главным интервалом телеметрии, $\tau_0 = 14.988281$ с, и внутренним “импульсом” конкретного прибора τ (Финстерли и Фрайлих, 1997; Фрайлих, 1998). В случае MDI $\tau = 15$ с, и частота “инструментальных” биений

$$\nu_B = \tau_0^{-1} - \tau^{-1} \approx 52.125 \text{ (мкГц)} \quad (4)$$

(период $P_B \approx 319.743$ мин). Но при этом всё равно приходится предполагать, что нестабильность электроники и/или устройств, связанных с программным обеспечением, вызывала флуктуации в переключении затвора.

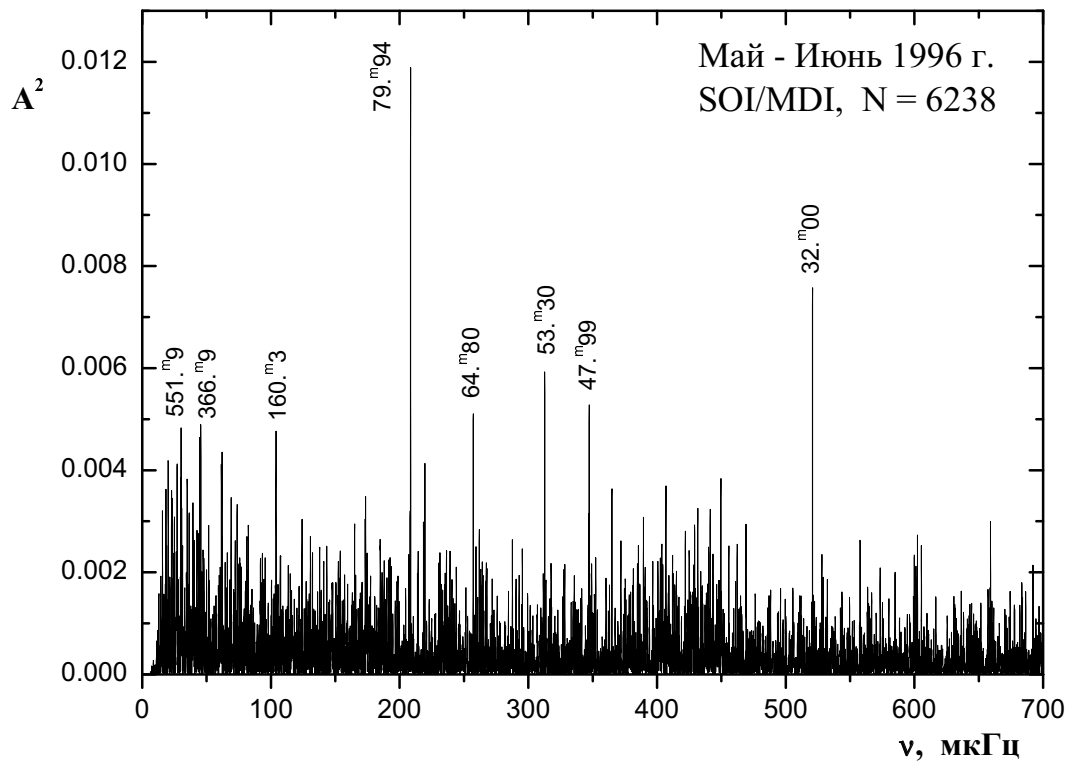


Рис. 4. Спектр мощности вариаций остатков I_D согласно измерениям MDI/SOHO в интервале 1 мая – 26 июня 1996 г. ($N = 6238$). Главный пик, с уровнем значимости $\mathcal{P} \approx 5.4\sigma$, отвечает периоду $P_{MDI} = 79.94 \pm 0.04$ мин

10.2 Вопросы остаются

- (а) СМ сигнала I_D (рис. 4) не обнаруживает ожидаемой основной периодичности “инструментальных биений” 319.74 мин.
- (б) Не совсем понятно, каким образом разность ≈ 0.012 с между ходом двух “часов” могла привести к длиннопериодному сигналу, сохраняющему фазу в течение по крайней мере двух месяцев. При постоянной разности хода двух часов должна наблюдаваться потеря или искажение части данных, вызванное оцифровкой сигналов, передачей их от одного устройства к другому.
- (в) Отсутствие периодичности 79.94 мин в вариациях интенсивности континуума (Косовичев, 1996) говорит против роли биения 0.012 с и других инструментальных причин в появлении указанной периодичности I_D .
- (г) Профиль средней кривой с периодом 79.94 мин имеет вид волны $|\sin(t)|$, который как раз и ожидается для измерений $|v(t)|$ вместо $v(t)$ (п. 8 и рис. 5а).
- (д) Если флуктуации времени закрытого состояния затвора и были ощущимы, то они заведомо изменялись хаотически, а потому не могли вызвать появление фазово-когерентного сигнала I_D . (Заметим, что эти флуктуации находились в пределах технической спецификации спутника (Шеррер, 1997).)
- (е) Для интерпретации доминирующих частот приходится привлекать сразу *несколько* инструментальных источников помех, причем весьма *разной* природы. В частности: биения пары часов, флуктуации времени закрытого состояния затвора, нестабильность бортовой электроники, программного обеспечения и телеметрии, температурные вариации и т.д.

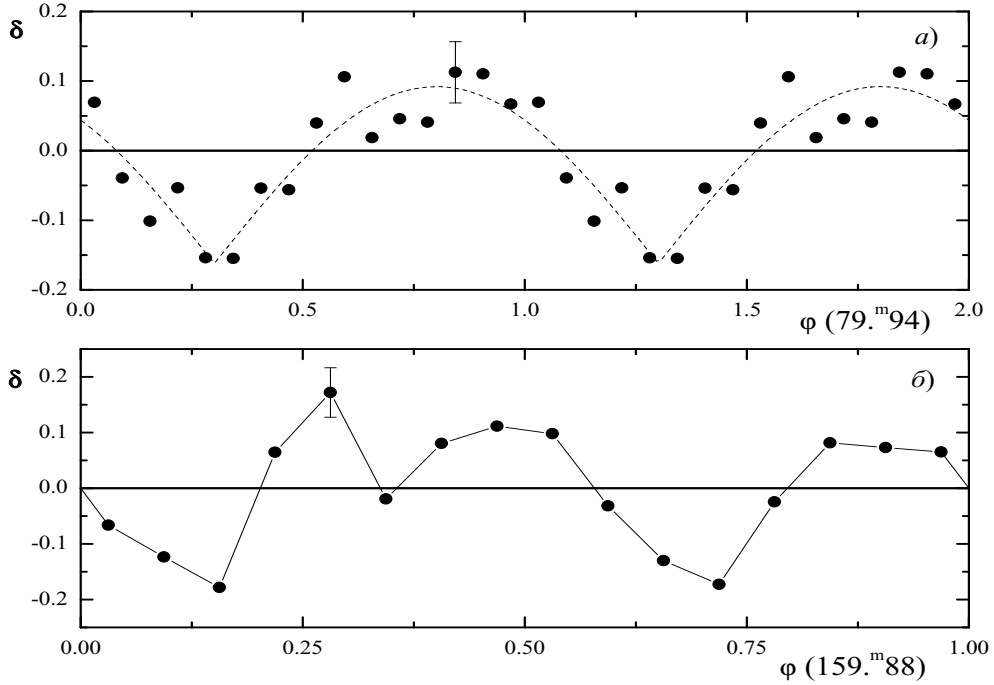


Рис. 5. (а) – Средний профиль вариаций $\delta(\varphi)$ остатков I_D , свёрнутых с периодом 79.94 мин. Остатки I_D ($N = 6238$; всюду – в относительных единицах I_D) усреднены в фазовых интервалах шириной $\Delta\varphi = 1/16$ (точки, с типичной ошибкой $\pm 1\sigma$, показаны вертикальной чёрточкой; по горизонтали – фаза φ , меняющаяся от 0 до 1; то же – на других аналогичных рисунках). Штриховая линия – кривая $|\sin(t)|$, вычисленная методом наименьших квадратов. (б) – Средняя кривая остатков I_D для периода 159.88 мин (интервал усреднения $\Delta\varphi = 1/16$)

(e) При обработке данных SOHO Аппуршо и др. (2000), Фройлих (1998), Финстерли и Фройлих (1997) предположили *a priori*, что обертоны частоты 52.125 мкГц – инструментального характера и обусловлены биениями между бортовыми “часами” и тактом конкретного прибора. Непонятно, каким образом могла возникнуть одна и та же периодичность биений ($P_B \approx 319.74$ мин, см. п. 10.1), двух приборов – MDI и РМО6-V? Ведь они имели некореллированные шумы и *разные* временные импульсы они принимали от одних и тех же бортовых часов. Периоды биений для них должны быть разными (соответственно для MDI и РМО6-V):

$$P_B(\text{MDI}) = \frac{15 \times \tau_0}{15 - \tau_0} \approx 319.743 \text{ мин}, \quad (5)$$

$$P_B(\text{РМО6-V}) = \frac{\tau_0 \times 10}{\tau_0 - 10} \approx 0.501 \text{ мин}. \quad (6)$$

Всё это заставляет сомневаться в инструментальном происхождении периодичности P_{MDI} или, по крайней мере, считать такое объяснение частичным и неудовлетворительным.

10.3 Солнечная природа?

Временной ряд I_D не показывает периодичности 319.74 мин и её обертона 159.87 мин. В противоположность инструментальной гипотезе, наш СМ показывает наличие доминирующего пика

$P = 79.94 \pm 0.04$ мин, а также существенный пик $P = 160.32 \pm 0.16$ мин. Разность между наблюдаемым – 160.32 мин – и ожидаемым – 159.87 мин – периодами превышает возможную ошибку. Более того, главный пик 79.94 мин имеет гораздо большую амплитуду, чем пик 160.32 мин (противоположная ситуация должна иметь место в случае “биений”), и он сильнее, чем все другие пики на рис. 4.

На рис. 5а приводим среднюю I_D -кривую, построенную с MDI-периодом 79.94 мин. Кривая имеет ожидаемый (п. 8) профиль типа $|\sin(t)|$. Надо, конечно, отметить, что совпадение, может быть и случайнм. Этот, сугубо негармонический, профиль может легко объяснить присутствие высокочастотных обертонов (т.е. квазиизмеримых частот типа $P_{MDI}^{-1} \times Z_1/Z_2$, где Z_1 и Z_2 – положительные малые целые числа).

Следуя п. 8 предположим, что *реальный* солнечный период равен P , а *наблюдаемый* период – $P/2$. Тогда можно ожидать наличие асимметрии между первой и второй частями P -кривой вследствие наложения обертона $P/2$ на основное колебание P . Примем $P/2 = 79.94$ мин, и тогда $P = 159.88$ мин. Средняя кривая для удвоенного периода показана на рис. 5б, где видим заметную асимметрию между двумя частями P -кривой.

Для оценки асимметрии на рис. 6а, б приводим две средние кривые, вычисленные с одинаковым периодом 79.94 мин, но для двух неперекрывающихся выборок остатков I_D : а – для остатков, принадлежащих первой половине основного цикла $P = 159.88$ мин, с числом $N = 3102$, и б – для остатков, соответствующих второй половине того же цикла, с числом $N = 3136$ (т.е. в интервалах фаз периода 159.88 мин: 0.0 – 0.5 и 0.5 – 1.0 соответственно). Параметры двух кривых следующие:

- (а): $A_h = 0.12 \pm 0.05$, $\varphi_h = 0.71 \pm 0.07$, $F' \approx 4.7\sigma$,
- (б): $A_h = 0.13 \pm 0.03$, $\varphi_h = 0.88 \pm 0.03$, $F' \approx 5.8\sigma$.

Если амплитуды двух кривых в пределах ошибок согласуются, то между фазами имеет место рассогласование со значимостью примерно 2.5σ . На рис. 6в приведена разность между указанными двумя кривыми. Вместо шума, ожидаемого при вычитании двух практически идентичных (в пределах ошибок) кривых, видим существенный периодический сигнал с параметрами:

- (в): $A_h = 0.13 \pm 0.06$, $\varphi_h = 0.53 \pm 0.08$, $F' \approx 3.0\sigma$.

Следовательно, можно утверждать, что первая и вторая части “основного” цикла 159.88 мин существенно, со значимостью примерно 3σ , различаются. Это означает, в свою очередь, что в остатках I_D присутствует периодичность

$$P = 2 \times P_{MDI} = 159.88 \pm 0.16 \text{ (мин).} \quad (7)$$

11 Другие свидетельства “в пользу Солнца”

Удвоенный период MDI (7) в пределах ошибки согласуется с ожидаемым значением

$$P_1 \approx 159.9660 \pm 0.0005 \text{ (мин)} \quad (8)$$

солнечных колебаний, определённым по наземным наблюдениям 1974 – 1999 гг. (Шеррер и др., 1993; Котов и др., 1997, 2000). Вероятность его случайного появления в спектре (рис. 4) на *априорной* частоте составляет $p \approx 5 \cdot 10^{-5}$.

И наоборот, можно констатировать, что полупериод $P_1/2$ найденного ранее у Солнца колебания хорошо согласуется с периодом P_{MDI} , доминирующим в СМ флюктуаций глубины линии (периоды – в минутах):

$$P_1/2 \approx 79.9830 (\pm 0.0003) \approx 79.94 (\pm 0.04) = P_{MDI}. \quad (9)$$

Можно также отметить, что двойной период MDI (7) в пределах формальной ошибки согласуется и с “первоначальным” периодом колебаний Солнца

$$P_0 = 160.0101 \pm 0.0016 \text{ (мин),} \quad (10)$$

обнаруженным более четверти века назад (Котов и др., 1997).

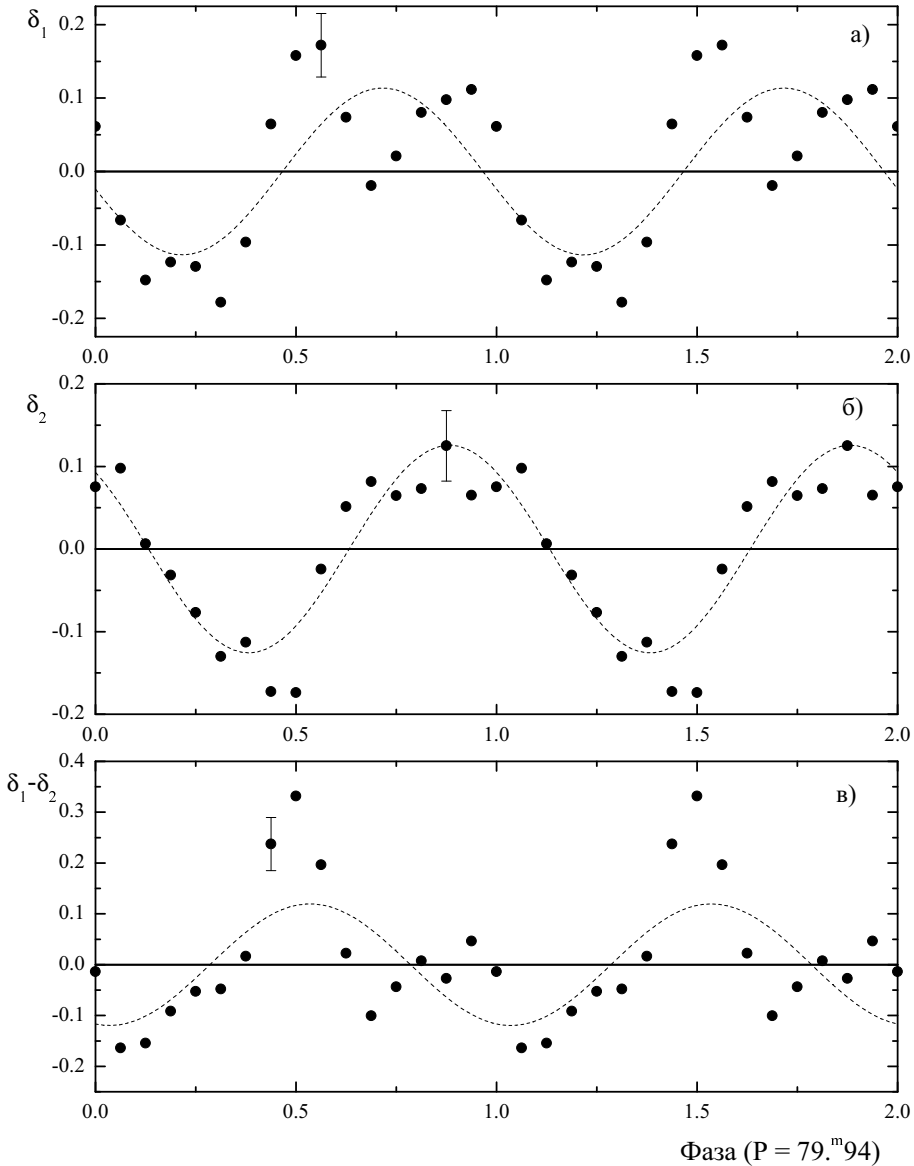


Рис. 6. Средние кривые, построенные с периодом 79.94 мин для остатков I_D , соответствующих первой (a) и второй (б) половинам пробного “основного” цикла 159.88 мин, и разность между этими двумя кривыми (в). Интервал $\Delta\varphi$ всюду равен 1/16; штриховые линии – синусоиды, вычисленные методом наименьших квадратов. По вертикали – средние значения остатков δ_1 , δ_2 и $\delta_1 - \delta_2$

12 27-суточная вариация

Интересное впечатление производит 27-суточное изменение амплитуды периода P_{MDI} .

Чтобы получить этот результат, для всего I_D -ряда мы вычислили скользящие средние значения A_h за 7-суточные интервалы. Результат показан на рис. 7, где видна сильная, примерно до 50%, модуляция амплитуды с периодом *солнечного* вращения

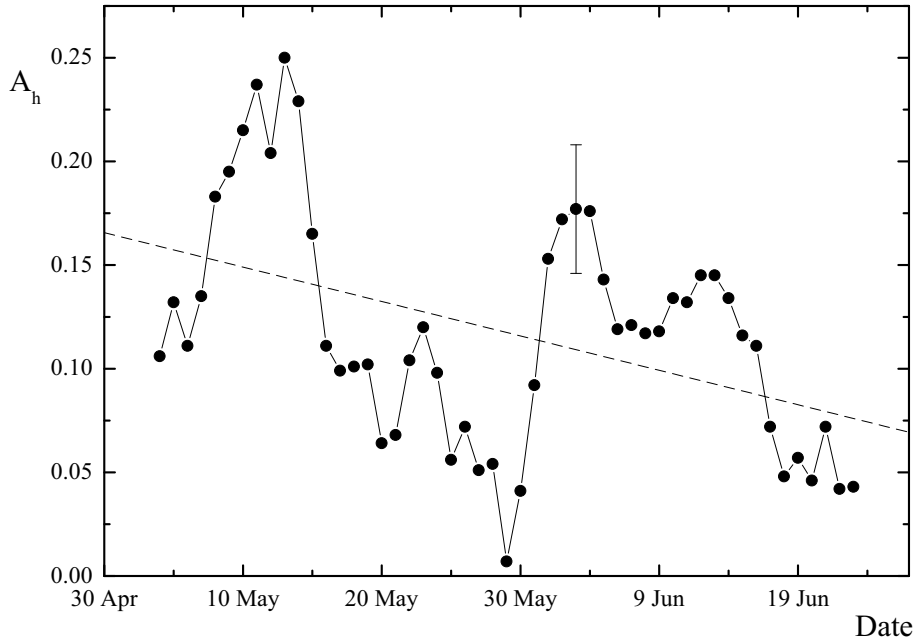


Рис. 7. Изменение амплитуды колебаний сигнала I_D с периодом 79.94 мин за 57 суток. Каждая точка – скользящее среднее за 7 суток; наклонная штриховая линия – прямая линейной регрессии

$$P_{\odot} = 27 \pm 5 \text{ (сут).} \quad (11)$$

Естественно сопоставить эту вариацию с секторной структурой среднего магнитного поля (СМП) Солнца как звезды. Последние данные – измерения СОУ (публикуемые в “Solar-Geophysical Data”) – дополнены измерениями, выполненными в КрАО нами (совместно с Т.Т. Цапом). Результаты показаны на рис. 8, где верхняя кривая демонстрирует поведение отклонений ΔA_h амплитуды колебания от наклонной прямой линии (согласно рис. 7), а нижняя – изменение СМП (скользящие средние за 7 суток). Видим удовлетворительное согласие двух величин – в том смысле, что A_h усиливается при *южной* полярности магнитного поля. (Это согласуется с выводами 50 – 70-х годов о том, что солнечная активность, характеризующаяся разными индексами, ассоциируется преимущественно с S-полярностью.)

На рис. 8б показано изменение чисел Вольфа W , хорошо коррелирующее как с вариацией ΔA_h , так и с изменением СМП. Коэффициент корреляции между ΔA_h и СМП равен примерно -0.57 (заметим, что на рис. 8в ход СМП показан с обратным знаком), а между ΔA_h и W он близок к $+0.46$.

13 Заключение

Измерения глубины линии в 1996 г. по данным SOHO/MDI обнаруживают существенную вариацию с периодом $P_{MDI} = 79.94 \pm 0.04$ мин. Инstrumentальный источник этой периодичности, в основном обусловленный телеметрией, требует дополнительных допущений, причем в определённой степени произвольного характера и без достаточного обоснования.

Сложная структура сигнала I_D , задаваемая алгоритмом (2), позволяет думать, что реальное солнечное колебание с периодом P в сигнале I_D будет проявлять себя в виде периодических флик-

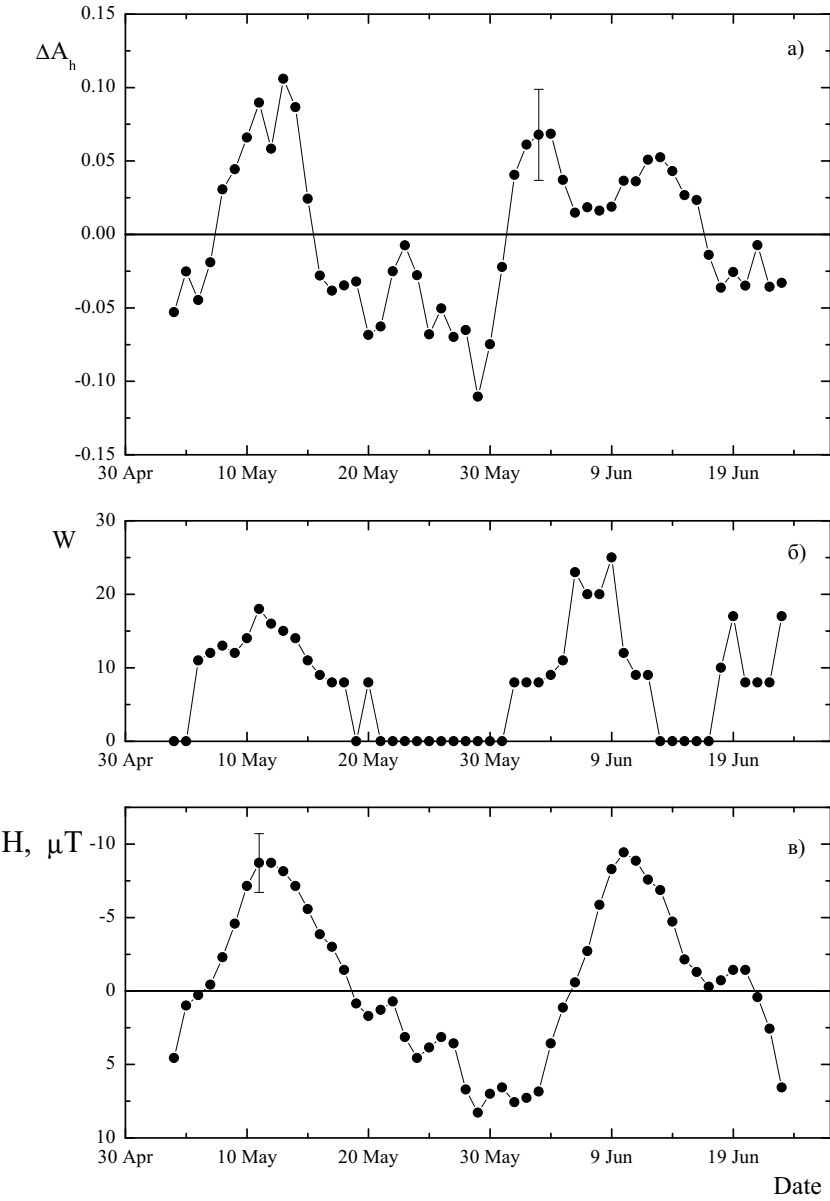


Рис. 8. 27-суточная вариация амплитуды $A_h(PMDI)$ (а) в сравнении с одновременным изменением числа пятен W (б) и СМП Солнца (в). Точки – скользящие средние за 7 суток; знак “–” магнитного поля H (в мкТ) соответствует S -полярности

туаций с периодами $P/2$ и/или P . Спектр мощности детрендированного сигнала I_D (1 мая – 26 июня 1996 г.) обнаруживает значительную мощность на периоде

$$P_{MDI} = 79.94 \pm 0.04 \text{ мин},$$

с уровнем значимости почти 5.4σ . Соответствующий двойной период

$$P = 2 \times P_{MDI} = 159.88 \pm 0.16 \text{ мин}$$

совпадает в пределах ошибки с обоими периодами пульсаций Солнца, известными ранее из наземных наблюдений (Шеррер и др., 1993; Котов и др., 1997):

$$P_0 = 160.0101 \pm 0.0016 \text{ мин и}$$

$$P_1 = 159.9660 \pm 0.0006 \text{ мин.}$$

Справедливо полагать поэтому, что гипотеза об *инструментальном* происхождении 160-минутной периодичности и её обертонах в данных SOHO недостаточно обоснована.

Выразительна 27-суточная вариация амплитуды периодичности $P_{MDI} = 79.94$ мин и её хорошая корреляция с 27-суточным изменением СМП Солнца и числом W (рис. 8). Это говорит в пользу солнечной природы периодичности 79.94 мин в измерениях I_D прибором SOI/MDI и её связи с проблемными P_0 - и P_1 -колебаниями Солнца. (Можно также предположить, что глубина самой линии изменяется с 27-суточным периодом вращения Солнца, что, в свою очередь, может приводить к модуляции I_D на *инструментальной* частоте P_{MDI}^{-1} . Такая гипотеза, однако, требует специального рассмотрения и доказательства; в данный момент она представляется искусственной.)

Природа периодичности $P_1 = 159.966$ мин в измерениях Крао и Стэнфордского университета остается загадкой. Можно было бы думать, например, о сверхбыстром – с периодом $\approx P_1$ – вращении центрального ядра, но это противоречит стандартной модели Солнца. (Заметим, что более четверти века тому назад гипотеза о быстром, с периодом ~ 1 ч, вращении ядра выдвигалась Роксбургом (1974) для объяснения дефицита солнечных нейтрино.) Тем не менее, с ростом числа данных о колебаниях Солнца, – и особенно ввиду поразительной фазовой устойчивости колебания P_1 , – у нас растет убеждение, что раскрытие загадки может оказаться важным ключом к пониманию внутреннего строения нашей звезды и других звезд, подобных Солнцу.

Благодарности. Авторы благодарны А.Г. Косовичеву и Ф. Шерреру за предоставление данных эксперимента SOI/MDI (измерения вариаций глубины линии) для анализа, а также им, А.В. Брунсу и К. Фрёлиху за полезное обсуждение ряда инструментальных проблем и некоторых наблюдений Солнца на борту SOHO. Авторы признательны Т.Т. Цапу за активное участие в наблюдениях колебаний Солнца на телескопе БСТ-1 Крао, Н.П. Русаку за техническое обеспечение работы солнечного магнитографа, С.В. Котову за некоторые статистические расчеты и Н.Г. Сунище за помощь в обработке наблюдательных данных. Работа частично поддержана INTAS (грант №. 2000-840).

Литература

- Аппуршо и др. (Appourchaux T., Fröhlich C., Andersen B., et al.) // *Astrophys. J.* 2000. V. 538. P. 401.
 Брукс и др. (Brookes J.R., Isaak G.R., van der Raay H.B.) // *Nature*. 1976. V. 259. P. 92.
 Грек и др. (Grec G., Fossat E., Pomerantz M.) // *Nature*. 1980. V. 288. P. 541.
 Косовичев А.Г. // 1996. Частное сообщение.
 Котов В.А. (Kotov V. A.) // *Solar Phys.* 1985. V. 100. P. 101.
 Котов В.А., Северный А.Б., Цап Т.Т. // Изв. Крым. Астрофиз. Обсерв. 1982. Т. 65. С. 3.
 Котов В.А., Северный А.Б., Цап Т.Т. // Изв. Крым. Астрофиз. Обсерв. 1983. Т. 66. С. 3.
 Котов и др. (Kotov V.A., Haneychuk V.I., Tsap T.T., Hoeksema J.T.) // *Solar Phys.* 1997. V. 176. P. 45.
 Котов В. А., Ханейчук В.И., Цап Т.Т. // Астрон. журн. 1999. Т. 76. С. 218.
 Котов В.А., Ханейчук В.И., Цап Т.Т. // Изв. Крым. Астрофиз. Обсерв. 2000. V. 96. P. 188.
 Палле и Рока Кортес (Pallé P.L., Roca Cortés T.) // in "Advances in Helio- and Asteroseismology" / Eds. J. Christensen-Dalsgaard, S. Frandsen. Dordrecht, Reidel. 1988. P. 75.
 Палле и др. (Pallé P.L., Roca Cortés T., Gelly B., et al.) // SOHO 6/GONG 98 Workshop: Structure and Dynamics of the Interior of the Sun and Sun-like Stars / Eds S. Korzennik, A. Wilson. Noordwijk: ESA SP 418. 1998. V. 1. P. 291.
 Роксбург И. (Roxburgh I.W.) // *Nature*. 1974. V. 248. P. 209.
 Северный и др. (Severny A.B., Kotov V.A., Tsap T.T.) // *Nature*. 1976. V. 259, P. 87.
 Скартель Дж. (Scargle J. D.) // *Astrophys. J.* 1982. V. 263. P. 835.
 Сэвэн Э. (Sevin É.) // *Compt. Rend. Acad. Sci. Paris*. 1946. V. 222. P. 220.
 Финстерли и Фройлих (Finsterle W., Fröhlich C.) // World Radiation Center. Annual Rep. 1997. Davos: PMOD/WRC. P. 9.

- Финстерли и Фройлих (Finsterle W., Fröhlich C.) // World Radiation Center. Annual Rep. 1999. Davos: PMOD/WRC. P. 15.
- Фройлих С. (Fröhlich C.) / Private communication. 1998.
- Фройлих и др. (Fröhlich C., Finsterle W., Andersen B., et al.) // SOHO 6/GONG 98 Workshop: Structure and Dynamics of the Interior of the Sun and Sun-like Stars / Eds S. Korzennik, A. Wilson. Noordwijk: ESA SP 418. 1998. V. 1. P. 67.
- Харкевич А.А. // Спектры и анализ. 1953. М.: Гос. изд. техн.-теор. лит.
- Шеррер Ф. (Scherrer P.H.) // 1997. Private communication.
- Шеррер и др. (Scherrer P.H., Hoeksema J.T., Kotov V.A.) // Publ. Astron. Soc. Pacific Conf. Ser. 1993. V. 42. P. 281.
- Шеррер и др. (Scherrer P.H., Bogart R.S., Bush R.I., et al.) // Solar Phys. 1995. V. 162. P. 129.
- Шеррер и Уилкокс (Scherrer P.H., Wilcox J.M.) // Solar Phys. 1983. V. 82. P. 37.
- Элсуорс и др. (Elsworth Y.P., Jefferies S.M., McLeod C.P., et al.) // Astrophys. J. 1989. V. 338. P. 557.